

بررسی تأثیر کورکومین آزاد و دندروزومی بر القای مرگ برنامه‌ریزی شده در سلول‌های بنیادی و سرطانی

نجمه رنجی^۱، عباس پادگانه^۲، مجید صادقی‌زاده^{۳*}

- ۱- دانشجوی دکتری تخصصی، گروه میکروبیولوژی، دانشکده علوم پایه، دانشگاه آزاد اسلامی واحد رشت، گیلان، ایران
۲- کارشناس ارشد، گروه ژنتیک، دانشکده علوم زیستی، دانشگاه تربیت مدرس، تهران، ایران
۳- استاد، گروه ژنتیک، دانشکده علوم زیستی، دانشگاه تربیت مدرس، تهران، ایران

دریافت مقاله: ۸۹/۱۲/۰۵
پذیرش مقاله: ۹۰/۰۳/۲۳

چکیده

هدف: کورکومین جز فعال گیاه زردچوبه است که با مهار چند مسیر پیام رسانی درون سلولی قادر به القای مرگ برنامه‌ریزی شده سلولی است. با این حال حلالیت بسیار ضعیف آن در محیط آبی باعث محدودیت استفاده از این ترکیب ارزشمند شده است. در این مطالعه از دندروزوم به خاطر حلالیت در آب، داشتن ابعاد نانو و عدم سمیت سلولی برای انتقال کورکومین به سلول استفاده شده است.

مواد و روش‌ها: در این پژوهش، قابلیت دندروزوم‌ها در رسانش کورکومین به سلول‌های AGS، HT3، U87 و hBMSC مورد مطالعه قرار گرفت. برای انتخاب بهترین غلظت دارویی و رده سلولی، غلظت‌های مختلف کورکومین در حالت آزاد و قرار گرفته در دندروزوم بر رده‌های سلولی تأثیر داده شد. سپس میزان القای مرگ برنامه‌ریزی شده سلولی به کمک رنگ پروپیدیوم آیوداید و میزان بیان ژن Bax به روش RT-PCR نیمه کمی بررسی شد.

نتایج: فرمول بندی دندروزومی کورکومین باعث افزایش قابل توجه حلالیت این ماده شدیداً آب‌گریز در سلول‌های AGS شد. به طوری که به روش فلوساپوتیری القای مرگ برنامه‌ریزی شده سلولی بعد از ۱۸ ساعت در سلول‌های تحت تیمار با فرمول بندی دندروزومی کورکومین ۴۸ درصد و با کورکومین آزاد ۲۰ درصد با غلظت بهینه دارو (۲۰ میکروگرم در هر میلی‌لیتر) مشاهده شد. همچنین به روش RT-PCR نیمه کمی افزایش سطح بیان ژن القای کننده مرگ برنامه‌ریزی شده سلول Bax در فرمول بندی دندروزومی نشان داده شد.

نتیجه‌گیری: براساس نتایج، دندروزوم باعث افزایش حلالیت و القای سریع‌تر و بیشتر کورکومین در مقایسه با کورکومین آزاد می‌شود. به طوری که افزایش بیان ۵۰ درصدی Bax در سلول‌های تحت تیمار نیز این مسئله را تأیید نمود.

کلیدواژگان: دندروزوم، کورکومین، نانوکورکومین، سلول‌های AGS، مرگ برنامه‌ریزی شده سلولی

۱- مقدمه

کورکومین (Curcumin) با نام علمی دی فرولوئیل متان Diferuloylmethane)، پلی فل زردنگ و جز فعال اصلی

*نشانی مکاتبه: تهران، دانشگاه تربیت مدرس، دانشکده علوم زیستی، گروه ژنتیک، کد پستی: ۱۴۱۱۷۱۳۱۱۶

Email: sadeghma@modares.ac.ir

با توجه به مزایای ناقلين دندروزومی، در اين مطالعه از دندروزوم نسل ۰۴۰۰ [۶، ۵] برای رسانش کورکومین به رده‌های سلولی سلطانی و حینی استفاده شد. هدف از اين مطالعه بررسی حلالیت فرمول بندی دندروزومی کورکومین نسبت به کورکومین آزاد و میزان القای مرگ برنامه‌ریزی شده در سلول‌های تحت تیمار بود. با توجه به حلالیت آبی فرمول بندی دندروزومی کورکومین، در تمامی رده‌های سلولی تحت تیمار با اين فرمول بندی در مقایسه با کورکومین آزاد القای شدیدتر و سریع‌تر مرگ برنامه‌ریزی شده سلولی مشاهده شد. همچنین در رده سلولی AGS به دلیل عدم القای مرگ شدید و بقای درصد مناسبی از سلول‌ها، افزایش بیان ژن Bax به روش RT-PCR نیمه کمی تأیید شد.

۲- مواد و روش‌ها

۱-۱- کشت سلولی

رده‌های سلولی مورد مطالعه از بانک سلولی انتستیو پاستور ایران خریداری شد. رده‌های سلولی AGS (رده سلولی آدنوکارسینومای معده)، ۵۶۳۷ (رده سلولی تومور مثانه) و RPMI U87 (رده سلولی گلابیوما) در محیط کشت کامل حاوی ۱۰ درصد سرم کشت داده شد. رده سلولی NT2 (رده سلولی کارسینومای جینینی) و HT3 (رده سلولی تومور مثانه) در محیط کشت کامل DMEM با گلوكز زیاد حاوی ۱۰ درصد سرم کشت داده شد و رده سلولی NT2 به عنوان کترول مثبت ژن‌های مربوط استفاده شد. همچنین رده سلولی hBMSM (سلول‌های بنیادی مزانشیمی مغز استخوان) در محیط کشت کامل DMEM با گلوكز کم، رشد داده شد.

۲-۲- آماده‌سازی و تهیه فرمول بندی دندروزومی کورکومین

کورکومین استفاده شده در این پژوهش از شرکت Sigma خریداری و فرمول بندی دندروزومی آن مطابق دستور ذکر

گیاه همیشه بهار زردچوبه (*Curcuma longa*) است [۱، ۲].^۱ آثار ضد سلطانی آن در سلطان‌هایی از قبیل مثانه، گردن رحم، تخمدان، مغز، پوست و غیره مشاهده شده است. با وجود آنکه در حلال‌های آلى نظیر دی متیل سولفورکساید (Dimethylsulfoxide: DMSO)، اتانول، و استون حل می‌شود [۳] اما در آب، در شرایط اسیدی انحلال ناپذیر و در شرایط خنثی و قلیایی سریعاً تعزیه می‌شود [۴].

امروزه برای افزایش حلالیت این ماده ارزشمند در مایعات بدن و به تبع آن افزایش آثار ضد سلطانی کورکومین، از ناقلين مختلفی برای رسانش دارو استفاده می‌شود. دندروزوم‌ها خانواده جدیدی از ناقلين هم بسپار (Copolymer) با ساختار کروی، فرادانه‌دار و خود متجمع هستند که در تحقیقات گذشته این گروه برای انتقال ژن به درون سلول‌های یوکاریوتی به صورت درون بدنی (In vivo) و آزمایشگاهی (In vitro) مورد استفاده قرار گرفته است [۵، ۶]. در مقایسه با سایر ناقلين دارویی از قبیل لیپوزوم‌ها [۷-۱۱]، نانوذرات [۱۲-۱۵]، فسفولیپیدها و غیره، دندروزوم‌ها از مزایای متعددی از قبیل پایداری، عدم سمیت و زیست‌تخربی‌پذیری برخوردارند [۵، ۶، ۱۶]. در یک بررسی مقایسه‌ای، نشان داده شد که استفاده از دندروزوم‌های حامل ژن وحشی P53، نسبت به ترکیب لیپوفکتامین (Lipofectamine) سبب وقوع مرگ برنامه‌ریزی شده سلولی (Apoptosis) شدیدتری در رده سلولی اریترولوکمیای انسانی می‌شود [۱۷]. همچنین در بررسی سمیت، لیپوفکتامین سمیت بیشتری بر سلول‌های CCRF-CEM (رده سلولی از لوسمی لنفوبلاستیک حاد انسانی) و MOLT-4 (رده سلولی از لوسمی لنفوبلاستیک حاد انسانی) در مقایسه با دندروزوم نشان داد [۱۸]. مطالعه با میکروسکوپ اتمی نانوذراتی با ابعاد ۱۰ تا ۱۰۰ نانومتر هستند و بررسی‌های سمیت نشان دهنده برتری دندروزوم‌ها نسبت به لیپوفکتامین است. همچنین نشان داده شد که تیمار موش‌ها با دندروزوم‌های حامل ژن HBsAg (Hepatitis B Surface Antigen) منجر به ایمنی زایی طولانی مدت‌تری نسبت تیمار سایر ناقلين شد [۶].

سلول‌ها با Phosphate Buffered Saline (PBS)، سلول‌ها به کمک پارا فرمآلدهید ۴ درصد تثبیت و برای عکسبرداری با میکروسکوپ فلورسنت آماده شد.

۵-۲- تجزیه و تحلیل چرخه سلولی با کمک تکنیک فلوسایوتومتری

رده سلولی آدنوکارسینومای معده (AGS) همچنین در پلیت‌های ۶ خانه کشت داده شده و پس از رسیدن به تراکم ۷۰-۶۰ درصد، با کورکومین آزاد و فرمول بندي دندروزومی دارو تیمار شد. سپس در بازه‌های زمانی ۱۸، ۱۰، ۸، ۶ و ۴ ساعت پس از تیمار، به کمک پروپیدیوم آیوداید طبق دستورالعمل شرکت Sigma رنگ‌آمیزی و مورد تجزیه و تحلیل فلوسایوتومتری قرار گرفت. دستگاه فلوسایوتومتر براساس اندازه نور فلورسانس ساطع شده توسط هر سلول واحد، محتوای DNA آن را تعیین می‌نماید. داده‌های به دست آمده از دستگاه فلوسایوتومتر به کمک نرمافزار FlowMax تفسیر شد. در هیستوگرام‌های به دست آمده از دستگاه فلوسایوتومتری هنگام تفسیر آن با نرم‌افزار، قله ابتدایی از سمت چپ به طور معمول به عنوان نماینده سلول‌های موجود در مرحله G1 معرفی می‌شود. به همین ترتیب قله دوم نیز به عنوان نماینده سلول‌های موجود در مراحل G2 و M (G2/M) و فاصله بین دو قله به عنوان مرحله S در نظر گرفته می‌شود.

۶-۲- بررسی بیان ژن Bax در رده سلولی AGS با استفاده از روش RT-PCR نیمه کمی

در مطالعه حاضر تفاوت سطح بیان ژن Bax در دو زمان قبل و پس از تیمار دارویی به کمک روش RT-PCR نیمه کمی و با استفاده از ژن GAPDH (Glyceraldehyde 3- Phosphate dehydrogenase) به عنوان کنترل داخلی بررسی شد. برای بررسی بیان ژن Bax ابتدا RNA تام سلولی با استفاده از کیت RNX plus شرکت CinnaGen، قبل و در

شده در منبع ۵ و ۶ تهیه شد.

۳-۲- افزودن مقادیر مختلف کورکومین دندروزومی و آزاد به سلول‌ها و انتخاب رده سلولی مناسب

براساس مقالات منتشر شده، برای انتخاب بهترین و مناسب‌ترین غلظت و رده سلولی، غلظت‌های ۴۰، ۲۰ و ۱۰۰ میکروگرم در هر میلی‌لیتر از کورکومین بر رده‌های سلولی hBMSC، 5637 HT3 و U87 تأثیر داده شد. لازم به ذکر است که حساسیت سلول‌ها به غلظت‌های مختلف دارو در امکان بررسی روند تأثیرات تیمار بر چرخه سلولی و بیان ژن‌ها از اهمیت بالایی برخوردار است. برای بررسی تأثیر کورکومین دندروزومی و آزاد بر سلول‌ها تعداد 2×10^5 سلول به هر خانه پلیت ۶ خانه به همراه محیط کشت کامل منتقل شد. پس از رسیدن تراکم سلولی (Confluency) به حدود ۷۰ درصد و تعویض محیط، غلظت‌های مختلف دارو با فواصل زمانی معین به هر خانه اضافه شد. برای تجزیه و تحلیل چرخه سلولی و مرگ برنامه‌ریزی شده سلولی پس از گذشت ۸ تا ۱۲ ساعت از شروع تیمار دارویی، سلول‌ها با پروپیدیوم آیوداید (Propidium Iodide) رنگ‌آمیزی و در دستگاه فلوسایوتومتر، بررسی شد.

۴-۲- تثبیت سلول‌ها برای عکس‌برداری با میکروسکوپ فلورسنت

پس از انتخاب رده سلولی مناسب (رده سلولی آدنوکارسینومای معده AGS) و غلظت بهینه دارو (۲۰ میکروگرم در هر میلی‌متر)، سلول‌ها با مقادیر مساوی کورکومین آزاد، فرمول بندي دندروزومی کورکومین و دندروزوم خالی به مدت ۴ ساعت تیمار شده، سپس محیط کشت محتوی دارو خارج شده و بعد از شستشوی سطح

cDNA‌ی تولید شده به عنوان الگو به همراه جفت آغازگر ژن‌های Bax و GAPDH که با نرمافزار Gene runner که با نرمافزار Bioneer سنتز شد، به طور جداگانه به مخلوط واکنش طبق دستورالعمل افزوده شد (جدول ۱). واکنش PCR طبق برنامه ذیل صورت گرفت: در ابتدا مخلوط واکنش به مدت ۱۵ دقیقه در دمای ۹۵ درجه سانتی‌گراد گرمادهی شد. سپس در ۳۱ چرخه و در هر چرخه به ترتیب در دمای ۹۵ درجه سانتی‌گراد ۴۵ ثانیه، در دمای ۶۵ درجه سانتی‌گراد ۴۵ ثانیه و در دمای ۷۲ درجه سانتی‌گراد ۶۰ ثانیه واکنش انجام گرفت. در پایان به منظور تکمیل سنتز قطعات نیمه کامل به مدت ۱۰ دقیقه در دمای ۷۲ درجه سانتی‌گراد قرار گرفت. سپس محصولات PCR روی ژل آگارز ۱ درصد تکنیک و با اتیدیوم بروماید (Ethidium Bromide) (رنگ‌آمیزی شد. برای کمی کردن داده‌ها (تبديل باندهای مشاهده شده در ژل آگارز به اعداد قابل اندازه‌گیری) از نرمافزار UVtech استفاده شد.

زمان‌های معینی بعد از تیمار دارویی از سلول‌ها استخراج شد. خلوص RNA‌ی استخراج شده در ژل آگارز ۱ درصد الکتروفورز و با دستگاه NanoDrob مورد بررسی قرار گرفت. سپس واکنش رونویسی معکوس، به کمک آغازگر Oligo-dT و (AccuPower TM RT-PreMix) cDNA‌ی لیوفلیزه ستر شرکت Bioneer صورت گرفت. به این منظور آغازگر و RNA‌ی الگو به تیوب‌های لیوفلیزه ستر اضافه و حجم واکنش به میزان مورد نظر رسید. سپس مخلوط واکنش به مدت ۶۰ دقیقه در دمای ۴۲ درجه سانتی‌گراد برای انجام واکنش و به مدت ۱۰ دقیقه در دمای ۷۰ درجه سانتی‌گراد، برای غیرفعال‌سازی آنزیم RT و اسروشت شدن کمپلکس-CDNA در دستگاه ترمال‌سایکلر انکوبه شد. به منظور تکثیر قطعه PCR مورد نظر پس از انجام واکنش رونویسی معکوس، واکنش Titan RT انجام گرفت. بدین منظور از کیت HotTaq 10X PCR Mix از شرکت BioAtlas استفاده شد.

جدول ۱ تردادف و سایر مشخصات آغازگرهای به کار گرفته شده در واکنش RT-PCR

نام ژن	آغازگر	تردادف	دماهی اتصال (Annealing)	طول قطعه به دست آمده
Bax	F	TCCACCAAGAAGCTGAGCGAG	۶۴	۲۶۰
	R	CTGATCAGTCGGCACCTTG	۶۴	
GAPDH	F	CCCACCTCCACCTTGAC	۵۶	۳۸۰
	R	CATAACCAGAAATGAGCTTGACAA	۵۶	

۳- نتایج

۱-۳- انتخاب رده سلولی و غلظت مناسب دارو

با توجه به ویژگی‌های ذکر شده در مورد دندروزوم‌ها به عنوان ناقلین نانو، انتظار بر این بود که این نانوذرات زیست‌سازگار و شاخه‌دار، از قابلیت مناسبی برای افزایش حلالیت مواد آب‌گریز از قبیل کورکومین برخوردار باشد. بنابراین کمپلکس کورکومین با دندروزوم‌های نسل ۰۴۰۰، حلالیت آن در آب را به شدت افزایش داده و محلولی همگن با قابلیت افزایش زیست‌ماندگاری دارو ایجاد نمود (شکل ۱):



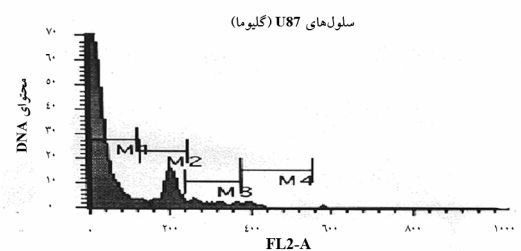
شکل ۱ حلالیت کورکومین در آب؛ تفاوت میزان حلالیت فرمول بنده دندروزومی کورکومین در سمت چپ و کورکومین آزاد در سمت راست در آب نشان داده شده است.

۲۰ میکروگرم در هر میلی لیتر از کورکومین آزاد به پلیت حاوی سلول اضافه شد و در فواصل زمانی مختلف برای فلوسايتومتری (شکل ۳) و بررسی تأثیر دارو بر مراحل مختلف چرخه سلولی نمونه‌برداری صورت گرفت (شکل ۴). نتایج نشان داد که تیمار سلول‌ها با کورکومین آزاد به مدت ۴ ساعت تأثیر قابل توجهی بر چرخه سلولی نداشت (شکل ۳-الف)، در حالی که با افزایش زمان به ۶ و ۸ ساعت، توقف چشمگیری در مرحله G2/M چرخه سلولی در مقایسه با نمونه کنترل (سلول‌های تیمار شده با آب)، مشاهده شد (شکل ۳-ج و ه). با افزایش بیشتر زمان این تیمار به ۱۰، ۱۲ و ۱۸ ساعت، به تدریج از سلول‌های تجمع یافته در مرحله G2/M کاسته شده و به سلول‌های مرحله G1 و پیش G1 (Sub-G1) افزوده شد (شکل ۳-ز، س و ص)؛ در حالی که تیمار سلول‌های کشت داده شده با مقادیر مساوی ۲۰ میکروگرم در هر میلی لیتر از فرمول بندي دندروزومی، پس از ۴ ساعت از زمان تیمار، منجر به ایجاد توقف چرخه سلولی در مرحله G2/M شد (شکل ۳-ب). همچنین به طور مشابهی، با افزایش زمان به ۶، ۸، ۱۰ و ۱۲ و ۱۸ ساعت، به تدریج از سلول‌های متوقف شده در این مرحله کاسته شده و به سلول‌های موجود در مرحله G1 و پیش G1 افزوده شد (شکل ۳-ح، ژ، ش و ض).

۳-۳- تأثیر دندروزوم فاقد کورکومین (دندروزوم خالی) بر رده سلولی آدنوکارسینومای معده (AGS)

با توجه به مشاهدات ذکر شده، مشخص شد که در اثر تیمار سلول‌ها با فرمول بندي دندروزومی، توقف در چرخه سلولی در ساعت ۴ پس از تیمار دارویی القا می‌شود؛ در حالی که این پدیده در مورد کورکومین آزاد، بین ساعت ۶ تا ۸ پس از تیمار مشاهده می‌شود. به منظور حصول اطمینان از عدم مشاهده تأثیر فوق به علت حضور ناقل دندروزومی، سلول‌های تیمار شده با مقادیر مساوی دندروزوم خالی در ساعت ۴ برای تجزیه و تحلیل فلوسايتومتری چرخه سلولی بررسی شدند. تیمار سلول‌های AGS با مقادیر مساوی از دندروزوم، ۴ ساعت

رددهای سلولی مورد مطالعه با کورکومین در فرمول بندي دندروزومی با غلاظت‌های ۲۰، ۴۰ و ۱۰۰ میکروگرم در هر میلی لیتر تیمار شده و در بازه‌های زمانی ۸ و ۱۲ ساعت جهت بررسی چرخه سلول و میزان مرگ و بقای سلولی تجزیه و تحلیل فلوسايتومتری شد. در نهایت غلاظت ۲۰ میکروگرم در هر میلی لیتر و رده سلولی AGS (با منشا آدنوکارسینومای معده) جهت انجام آزمایش‌های بعدی انتخاب شدند. علت انتخاب این رده سلولی، عدم القای مرگ شدید و بقای درصد مناسبی از سلول‌ها به هدف بررسی بیان ژن بود. در سایر رددهای سلولی مورد بررسی، غلاظت‌های استفاده شده از دارو سبب القای شدید مرگ سلولی شد که خود در بررسی‌های بعدی تأثیر دارو (اندازه‌گیری بیان ژن و ...) عامل محدود کننده بود و امکان بررسی روند تعییرات در اثر تیمار دارو را دشوار می‌ساخت. مطابق (شکل ۲) القای ۸۴ درصدی مرگ در سلول‌های U87 با منشا گلایومای انسانی پس از ۸ ساعت از زمان تیمار با غلاظت ۲۰ میکروگرم در هر میلی لیتر مشاهده شد. این امر را می‌توان به علت حساسیت مختلف این سلول‌ها به دارو و تأثیر بیش از حد شدید غلاظت‌های مورد آزمایش نسبت داد.



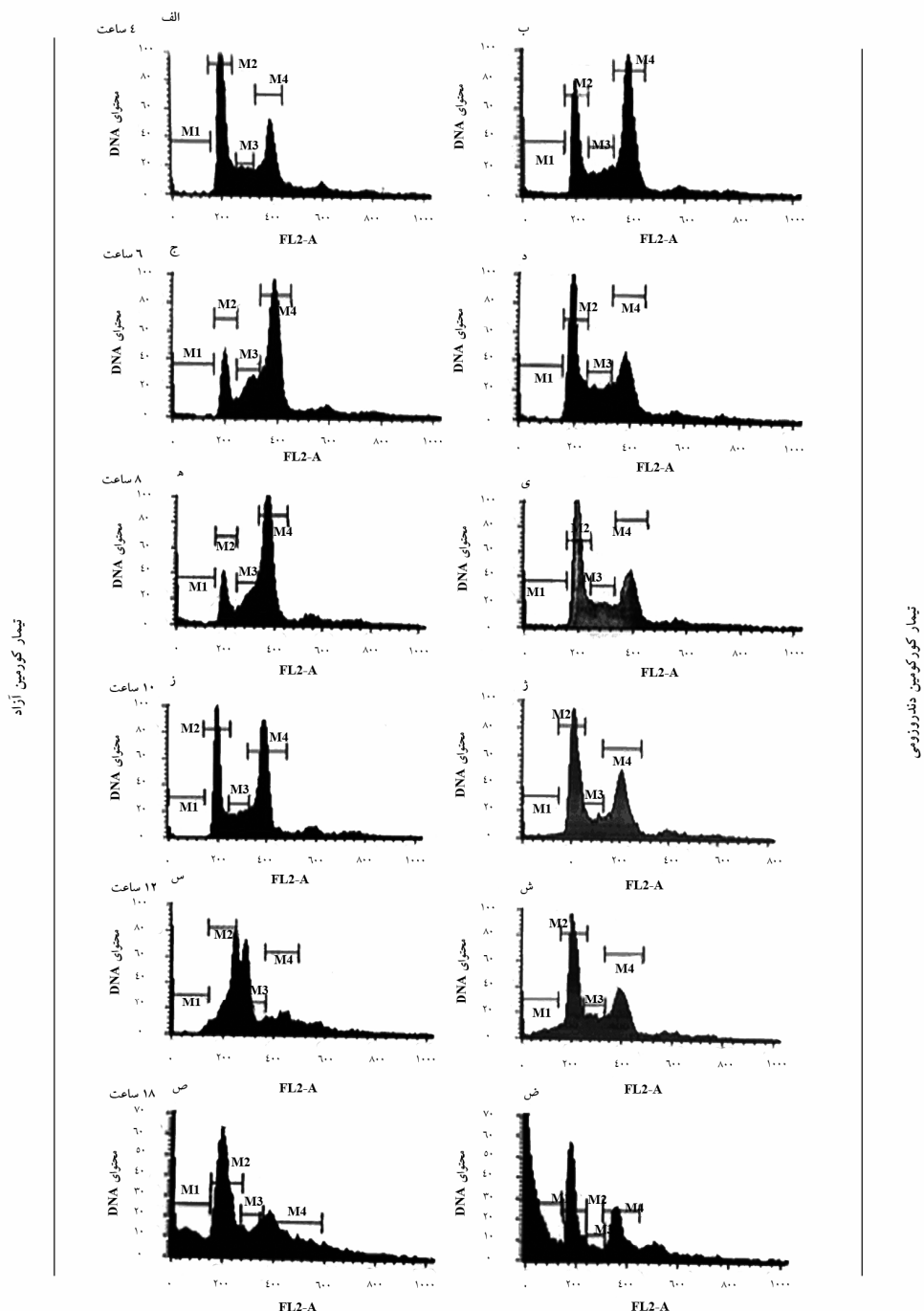
شکل ۲ القای مرگ برنامه‌ریزی شده در رده سلولی U87، ۸۴ درصد سلول‌ها پس از ۸ ساعت از زمان تیمار در پیش G1 متوقف شده‌اند.

۲-۳- تیمار رددهای سلولی با کورکومین آزاد و قرار گرفته در دندروزوم و تجزیه و تحلیل فلوسايتومتری چرخه سلولی

برای بررسی تأثیر کورکومین بر چرخه سلولی، غلاظت‌های

قابل توجهی در توزیع سلولی این گروه با گروه تیمار شده با کورکومین آزاد مشاهده می‌شود (شکل ۵-الف-ت).

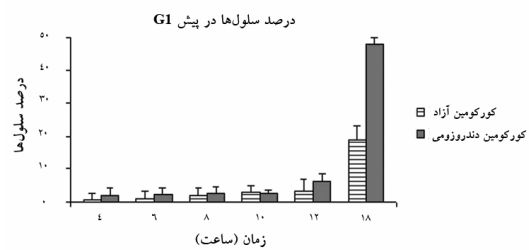
پس از شروع تیمار، تأثیر قابل ملاحظه‌ای بر توزیع سلول‌ها در مراحل مختلف چرخه سلولی نداشت. در حالی که شباهت



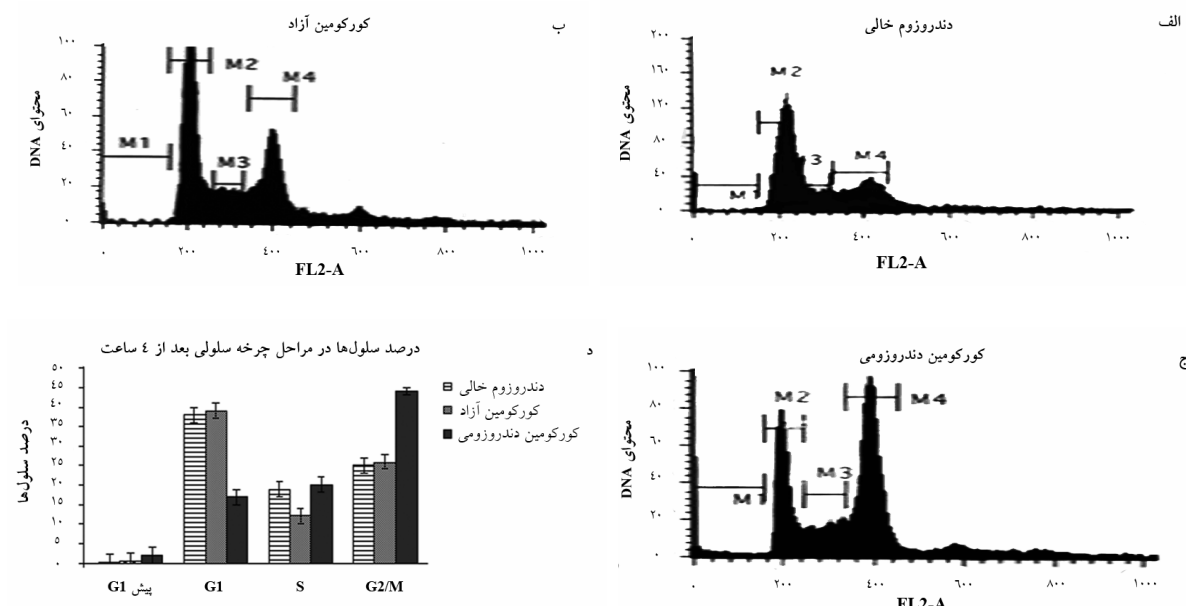
شکل ۳ هیستوگرام فلوسایتمتری از تأثیر تیمار سلول‌های AGS (با منشا آدنوکارسینومای معده) بر مراحل مختلف چرخه سلولی در بازه‌های زمانی ۴ (الف-ب)، ۶، ۸، ۱۰ (ه-ی)، ۱۲، ۱۴ (س-ز) و ۱۸ (ص-ش) ساعت پس از تیمار با کورکومین آزاد (سمت چپ) و فرمول بندی دندروزومی کورکومین (سمت راست). (ج-د)

۳-۴- مشاهده جذب و ورود کورکومین به سلول‌ها به کمک میکروسکوپ فلورئنسنت

برای مطالعه جذب و ورود دارو به داخل سلول از خصوصیت فلورئنسنت ذاتی کورکومین استفاده شد. بدین منظور ۴ ساعت پس از شروع تیمار رده سلولی آنوتکارسینومای معده (AGS)، تصویربرداری با میکروسکوپ فلورئنسنت صورت گرفت که مطابق (شکل ۶) ورود کورکومین دندروزوومی به درون سلول‌ها و باقی ماندن کورکومین آزاد در محیط خارج سلولی مشاهده شد.



شکل ۴ مقایسه درصد سلول‌های وارد شده به مرگ برنامه‌ریزی شده (پیش G1) تحت تیمار با کورکومین. افزایش قابل توجه مرگ سلولی در سلول‌های تیمار شده با فرمول بنده دندروزوومی کورکومین در مقایسه با کورکومین آزاد پس از ۱۸ ساعت مشهود است.

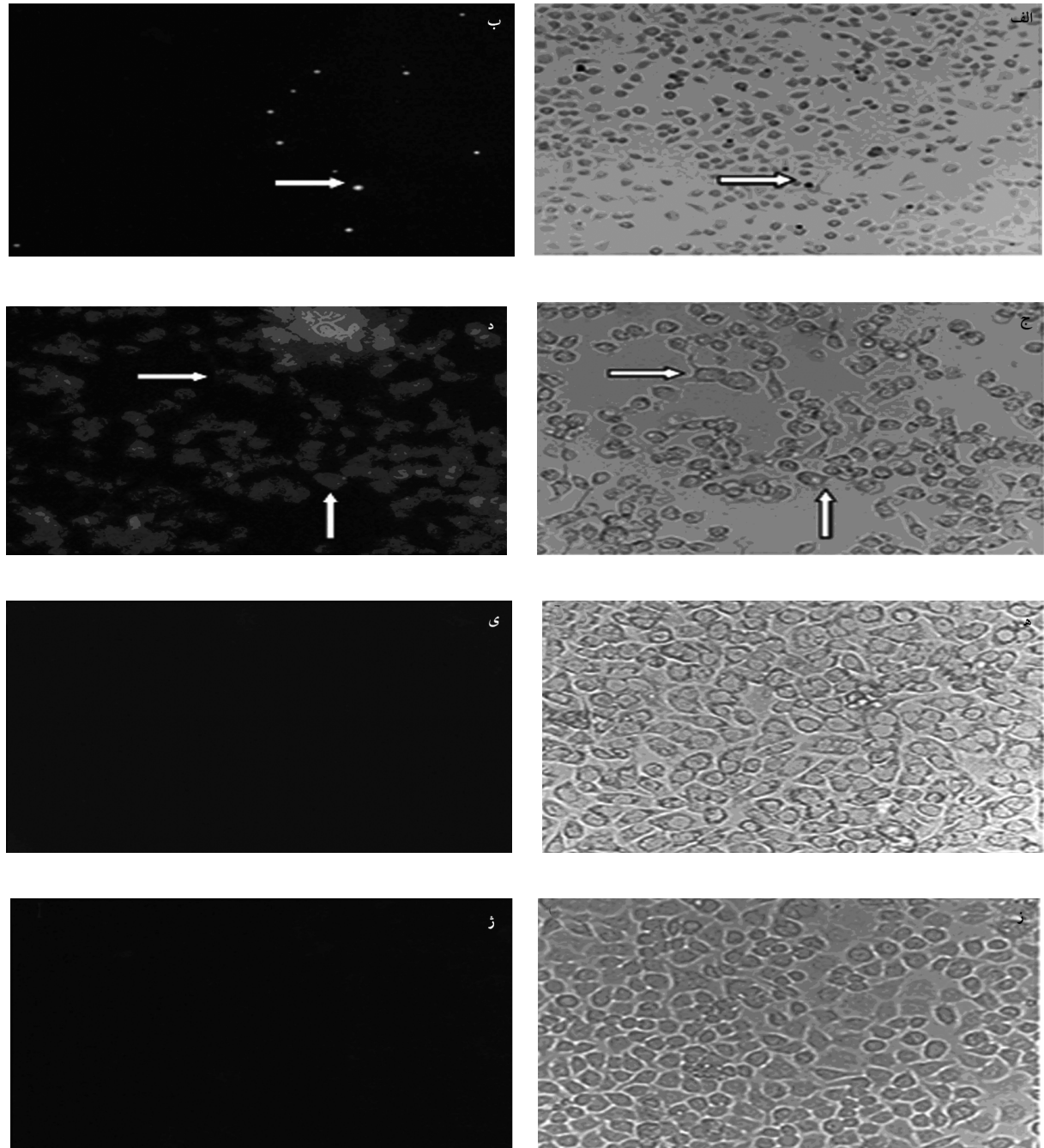


شکل ۵ هیستوگرام فلوسایتومری (الف-ج) و دیاگرام مقایسه‌ای (د) توزیع سلول‌ها در مراحل مختلف چرخه سلولی؛ ۴ ساعت پس از تیمار سلول‌ها با مقدار مساوی (۲۰ میکروگرم در هر میلی‌لتر) از دندروزووم خالی (الف)، کورکومین آزاد (ب) و فرمول بنده دندروزوومی کورکومین (ج) به شباهت قابل توجه توزیع سلولی در دو گروه تیمار شده با دندروزووم خالی و کورکومین آزاد در این ساعت توجه نمایید.

پذیرفت. نتایج براساس شدت باند به دست آمده در ژل آگارز (شکل ۷) با نرم‌افزار Uvtech مورد تجزیه و تحلیل قرار گرفت. افزایش ۵۰ درصدی در بیان این ژن نشانگر اثر آپوپتوتیک (Apoptotic Effect) فرمول بنده دندروزوومی کورکومین است (شکل ۸).

۳-۵- بررسی بیان ژن Bax قبل و بعد از تیمار دارویی

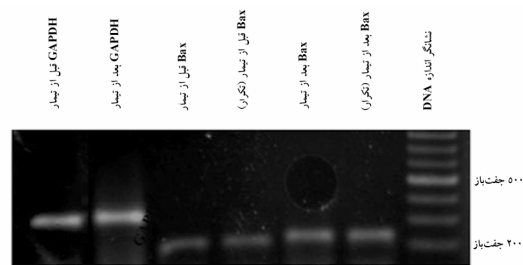
به منظور بررسی تأثیر تیمار کورکومین دندروزوومی بر میزان بیان ژن Bax، استخراج RNA از سلول‌های تحت تیمار پس از ۸ ساعت صورت گرفت و واکنش رونویسی معکوس و سپس واکنش PCR با استفاده از آغازگرهای طراحی شده صورت



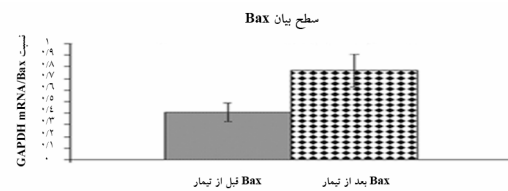
شکل ۶ تصویربرداری با میکروسکوپ فلورسنت و میکروسکوپ نوری؛ تیمار سلولهای AGS پس از ۴ ساعت با کورکومین آزاد (الف، ب) تجمعات درخشنان کورکومین موجود در محیط کشت خارج سلولها و با فرمول بنده دندروزومی کورکومین (بزرگنمایی $20\times$) (ج، د)، ورود کورکومین به داخل سلول را (با پیکان) نشان می‌دهد (بزرگنمایی $10\times$). همچنین مشاهدات نشان داد که سلولهای تیمار شده با دندروزوم فاقد دارو (ه، ی) (بزرگنمایی $20\times$ ، از لحاظ ریخت‌شناسی، قدرت تکثیر و رشد با سلولهای تیمار شده با آب [کنترل منفی (ز، ژ)] (بزرگنمایی $20\times$ ، تفاوتی را نشان نمی‌دهند.

جذب ضعیف و متابولیسم سریع این ترکیب دارویی است. به طوری که والستروم (Wahlstrom) و همکارانش در اولین بررسی خود روی موش‌های صحرایی، جذب بسیار پایین آن توسط دستگاه گوارش را نشان دادند [۲۳]. برای افزایش پایداری و حلالیت کورکومین، لی (Li) و همکارانش پس از بررسی فعالیت ضد‌توموری کورکومین لیپوزومی روی سلول‌های کارسینومای پانکراس مشخص کردند که کورکومین لیپوزومی مانع از رشد سلول‌های توموری پانکراس می‌شود [۱۷]. از سوی دیگر ناقلینی از جنس کمپلکس‌های میسل و فسفولیپید نیز قادر به افزایش جذب روده‌ای این دارو بوده و در نتیجه مقادیر پلاسمایی دارو را افزایش و سرعت حذف آن را کاهش می‌دهد [۱۲]. علاوه بر این ناقلین، در تحقیقات پیشین این گروه نشان داده شد که دندروزوم‌ها ناقلین کارآیی برای انتقال ژن و ترانسفکشن هستند [۵، ۶]. در این مطالعه نیز از ناقل دندروزومی برای افزایش حلالیت و جذب سلولی کورکومین به دلیل داشتن ویژگی‌هایی از قبیل خشی بودن از لحاظ بار الکتریکی، ساختار کروی، زیست‌تخربی‌پذیری، عدم سمیت و ابعاد نانو [۱۶، ۵] استفاده شد. به نظر می‌رسد در سلول‌های تیمار شده با کورکومین دندروزومی در مقایسه با سلول‌های تیمار شده با کورکومین آزاد، وقوع زود هنگام توقف در مرز G2/M و جذب سریع‌تر دارو به واسطه افزایش نفوذپذیری غشای سلولی توسط دندروزوم صورت پذیرفت.

از آنجایی که کورکومین، به طور انتخابی سبب القای مرگ برنامه‌ریزی شده شدیدتری در سلول‌های پر تقسیم و به شدت تکثیر شونده می‌شود، بنابراین وقوع مرگ برنامه‌ریزی شده در سلول‌های توموری (در مقایسه با سلول‌های طبیعی) بیشتر مشاهده شده است [۲۴]. علت این در تفاوت در تأثیر کورکومین را می‌توان به تغییرات ایجاد شده در غشای سلول‌های توموری و اجزای چرخه سلولی نسبت داد که منجر به تکثیر غیر قابل کنترل و نئوپلазی (Neoplasia) می‌شود [۲۵]. بخشی از آثار دارویی کورکومین، به مهار تکثیر سلولی و القای مرگ برنامه‌ریزی شده مربوط می‌شود. کورکومین در واقع



شکل ۷: بیان ژن پروآپوپتوتیک Bax در سلول‌های AGS (آدنوکارسینومای معده): بیان ژن Bax بعد از تیمار با کورکومین دندروزومی ۲۰ میکروگرم در هر میلی لیتر) افزایش چشمگیری را نسبت به بیان قبل از تیمار نشان می‌دهد.



شکل ۸: دیاگرام مقایسه‌ای بیان ژن Bax قبل و بعد از تیمار سلولی با فرمول بندي دندروزومي کورکومين؛ افزایش ۵۰ درصدی در بیان این ژن نشان دهنده اثر آپوپتوتیک فرمول بندي دندروزومي کورکومين است.

۴- بحث

در عصر امیکس (Omics) مشخص شده است که بیشتر بیماری‌ها از جمله سرطان، نتیجه اختلال در عملکرد ۵۰۰ محصول ژنی مختلف است [۱۹] و مهار تنها یک محصول ژنی ممکن است قادر به جلوگیری یا درمان سرطان نباشد [۲۰]. بنابراین روش فعلی در درمان سرطان استفاده از داروهای ترکیبی هوشمند و در مرحله تحقیقات، طراحی و کشف داروهای چند منظوره است [۲۱، ۲۲]. از جمله این داروها می‌توان به کورکومین اشاره نمود که قادر به مهار چندین مسیر پیام رسانی سلولی، جلوگیری از تکثیر سلولی، تهاجم، متابولیزاز و رگ‌زایی است [۲۰]؛ اما حلالیت بسیار ضعیف آن در آب و جذب کم توسط سلول‌ها، کاربرد این ماده ضد سرطانی مهم را با مشکل مواجه می‌سازد.

بررسی‌هایی که در سه دهه اخیر در زمینه جذب، توزیع، متابولیسم و دفع کورکومین صورت گرفته است، نشان دهنده

کورکومین بر مسیرهای آپوپتوتیک [۲۸] و مهار علامت‌های آنتی‌آپوپتوتیک [۲۹]، باعث القای مرگ برنامه‌ریزی شده در سلول‌های متوقف شده در نقاط کنترلی می‌شود. در مطالعات مختلف مشخص شده که کورکومین قادر به کاهش بیان اعضای آنتی‌آپوپتوتیک خانواده B cell Bcl-2 (Bax 2) lymphoma و افزایش بیان ژن‌های p53 و Procaspase ۳ (p21^{WAF1}) پروکاسپازهای ۸ و ۹ است. پروتئین p53، رونویسی ژن‌های پایین دست خود از قبیل Bax را که القاگر فرایند مرگ برنامه‌ریزی شده سلولی است، افزایش داده و بدین ترتیب از رشد سلول‌های دچار آسیب DNA و سلول‌های سرطانی جلوگیری به عمل می‌آورد [۳۰]. کورکومین نیز قادر به القای بیان ژن p53 در بسیاری از رده‌های توموری گلایوما (Glioma) و سرطان پروستات است [۳۱]. پس از تیمار رده سلولی AGS، با فرمول بنده دندرورزومی کورکومین، سطح بیان پایه ژن Bax، افزایش درصدی را نشان داد که نشانگر فعال شدن تدریجی مسیر میتوکندریابی مرگ برنامه‌ریزی شده سلولی است. افزایش تدریجی درصد سلول‌های وارد شده به مرحله مرگ برنامه‌ریزی شده از ساعت ۸ به بعد، ادامه این روند احتمالی را پیشنهاد می‌نماید.

۵- تشکر و قدردانی

این مقاله به زنده‌بیاد دکتر محمدنی سربلوکی، استاد گرانقدر مرکز تحقیقات بیوشیمی و بیوفیزیک دانشگاه تهران (Institute of Biochemistry and Biophysics: IBB) تقدیم می‌شود. همچنین از معاونت پژوهشی دانشگاه تربیت مدرس و معاونت پژوهشی و مدیریت پژوهشی دانشگاه آزاد اسلامی واحد رشت بابت تأمین امکانات و هزینه‌های این تحقیق کمال تشکر و قدردانی می‌شود.

مهار کننده مراحل مختلف در شبکه رونویسی بوده و بدین صورت از تکثیر سلولی جلوگیری می‌نماید. این ترکیب دارویی در بسیاری از رده‌های توموری از قبیل سرطان کولون، سینه، مثانه، مغز، ریه و تخمدان، سبب القای مرگ برنامه‌ریزی شده وابسته به p53 می‌شود. همچنین توقف چرخه سلولی در مرز G2/M چرخه سلولی توسط کورکومین، به صورت وابسته به p53 و غیر وابسته به p53 مشاهده شده است [۲۶، ۲۷]. در این تحقیق نیز توقف چرخه سلولی و کاهش رشد که از آثار نوعی کورکومین است، روی سلول‌های آدنوکارسینوماتی معده مشاهده شد. تیمار رده سلولی فوق با کورکومین دندرورزومی، به تدریج منجر به ایجاد تغییراتی در چرخه سلولی از قبیل کاهش رشد سلول‌های تیمار شده و تجمع تدریجی سلول‌ها در نقاط کنترل چرخه سلولی شد. به نظر می‌رسد که مهار رشد سلولی توسط فرمول بنده دندرورزومی کورکومین ابتدا به شکل سایتواستاتیک بوده و تنها سلول‌ها را در نقاط کنترل چرخه سلولی متوقف شده در این نقاط وارد مسیر مرگ برنامه‌ریزی شده می‌شوند. با گذشت زمان، سلول‌های متوقف شده می‌باشند یکی از دو مسیر ذیر را طی نمایند: ۱) در صورت وجود فاکتورهای مناسب برای وقوع مرگ برنامه‌ریزی شده، این سلول‌ها دچار مرگ برنامه‌ریزی شده می‌شوند و در غیر این صورت، با فعالیت سایر مکانیسم‌های عبوری، سلول پس از توقف موقت در این نقطه کنترلی، در نهایت از مرحله G2 خارج شده و تقسیم می‌توزد صورت می‌گیرد. با تداوم حضور کورکومین در محیط کشت و ورود بیشتر آن به داخل سلول، دومین نقطه کنترلی چرخه سلولی، یعنی نقطه کنترلی G1 فعال شده و مکانیسم‌های مهار کننده عبور سلول از مرحله G1 سبب تجمع تدریجی سلول‌ها در این مرحله و توقف در مرز G1/S می‌شود. در ادامه، افزایش زمان تیمار و تأثیر

۶- منابع

- [1] Naama JH, Al-Temimi AA, Al-Amiry AAH. Study the anticancer activities of ethanolic

Curcumin extract. Afr J Pure Appl Chem 2010; 4(5): 68-73.

- [2] Whahlang B, Pawar YB, Bansal AK. Identification of permeability-related hurdles in oral delivery of Curcumin using Coca-2 cell model. *Eur J Pharm Biopharm* 2011; 77(2): 272-85.
- [3] Prasad K, Mantha SV, Kalra J, Lee P. Prevention of Hypercholesterolemic Atherosclerosis by Garlic, an Antioxidant. *J Cardiovasc Pharmacol Ther* 1997; 2(4): 309-20.
- [4] Wang YJ, Pan MH, Cheng AL, Lin LI, Ho YS, Hsieh CY, Lin JK. Stability of curcumin in buffer solutions and characterization of its degradation products. *J Pharm Biomed Anal* 1997; 15(12): 1867-76.
- [5] Sarbolouki MN, Sadeghizadeh M, Yaghoobi MM, Karami A, Lohrasbi T. Dendrosomes: a novel family of vehicles for transfection and therapy. *J Chem Technol Biotechnol* 2000; 75(10): 919-22.
- [6] Sadeghizadeh M, Ranjbar B, Damaghi M, Khaki L, Sarbolouki MN, Najafi F, Parsaee S, Ziae AA, Massumi M, Lubitz W, Kudela P, Paukner S, Karami A. Dendrosomes as novel gene porters-III. *J Chem Technol Biotechnol* 2008; 83: 912-20.
- [7] Li L, Ahmed B, Mehta K, Kurzrock R. Liposomal curcumin with and without oxaliplatin: effects on cell growth, apoptosis, and angiogenesis in colorectal cancer. *Mol Cancer Ther* 2007; 6(4): 1276-82.
- [8] Narayanan NK, Nargi D, Randolph C, Narayanan BA. Liposome encapsulation of curcumin and resveratrol in combination reduces prostate cancer incidence in PTEN knockout mice. *Int J Cancer* 2009; 125(1): 1-8.
- [9] Chen C, Johnston TD, Jeon H, Gedaly R, McHugh PP, Burke TG, Ranjan D. An in vitro study of liposomal curcumin: stability, toxicity and biological activity in human lymphocytes and Epstein-Barr virus-transformed human B-cells. *Int J Pharm* 2009; 366(1-2): 133-9.
- [10] Shankeshi J, Aukunuru J. Preparation. Characterization and evaluation of antidiabetic activity of a liposomal formulation encapsulating curcumin, an ayurvedic natural product. *Pharmacist* 2008; 3(2): 1-5.
- [11] Marcylo TH, Verschoyle RD, Cooke DN, Morazzoni P, Steward WP, Gescher AJ. Comparison of systemic availability of curcumin with that of curcumin formulated with phosphatidylcholine. *Cancer Chemother Pharmacol* 2007; 60(2): 171-7.
- [12] Bisht S, Feldmann G, Soni S, Ravi R, Karikar C, Maitra A, Maitra A. Polymeric nanoparticle-encapsulated curcumin ("nanocurcumin"): a novel strategy for human cancer therapy. *J Nanobiotechnology* 2007; 5: 3.
- [13] Das RK, Kasoju N, Bora U. Encapsulation of curcumin in alginate-chitosan-pluronic composite nanoparticles for delivery to cancer cells. *Nanomedicine* 2010; 6(1): 153-60.
- [14] Cartiera MS, Ferreira EC, Caputo C, Egan ME, Caplan MJ, Saltzman WM. Partial correction of cystic fibrosis defects with PLGA nanoparticles encapsulating curcumin. *Mol Pharm* 2010; 7(1): 86-93.
- [15] Anand P, Nair HB, Sung B, Kunnumakkara AB, Yadav VR, Tekmal RR, Aggarwal BB. Design of curcumin-loaded PLGA nanoparticles formulation with enhanced

- cellular uptake, and increased bioactivity in vitro and superior bioavailability in vivo. *Biochem Pharmacol* 2010; 79(3): 330-8.
- [16] Balenga NA, Zahedifard F, Weiss R, Sarbolouki MN, Thalhamer J, Rafati S. Protective efficiency of dendrosomes as novel nano-sized adjuvants for DNA vaccination against birch pollen allergy. *J Biotechnol* 2006; 124(3): 602-614.
- [17] Li L, Braiteh FS, Kurzrock R. Liposome-encapsulated curcumin: in vitro and in vivo effects on proliferation, apoptosis, signaling, and angiogenesis. *Cancer* 2005; 104(6): 1322-31.
- [18] Massumi M, Ziae AA, Sarbolouki MN. Apoptosis induction in human lymphoma and leukemia cell lines by transfection via dendrosomes carrying wild-type p53 cDNA. *Biotechnol Lett* 2005; 28(1): 61-6.
- [19] Anand P, Sundaram C, Jhurani S, Kunnumakkara AB, Aggarwal BB. Curcumin and cancer: an "old-age" disease with an "age-old" solution. *Cancer Lett* 2008; 267(1): 133-64.
- [20] Kunnumakkara AB, Anand P, Aggarwal BB. Curcumin inhibits proliferation, invasion, angiogenesis and metastasis of different cancers through interaction with multiple cell signaling proteins. *Cancer Lett* 2008; 269: 199-225.
- [21] Jimeno A, Hidalgo M. Multitargeted therapy: can promiscuity be praised in an era of political correctness? *Crit Rev Oncol Hematol* 2006; 59(2): 150-8.
- [22] Sams-Dodd F. Target-based drug discovery: is something wrong? *Drug Discov Today* 2005; 10(2): 139-47.
- [23] Wahlström B, Blennow G. A study on the fate of curcumin in the rat. *Acta Pharmacol Toxicol (Copenh)* 1978; 43(2): 86-92.
- [24] Choudhuri T, Pal S, Agwarwal ML, Das T, Sa G. Curcumin induces apoptosis in human breast cancer cells through p53-dependent Bax induction. *FEBS Lett* 2002; 512(1-3): 334-40.
- [25] Sa G, Das T. Anti cancer effects of curcumin: cycle of life and death. *Cell Div* 2008; 3: 14.
- [26] Choudhuri T, Pal S, Das T, Sa G. Curcumin selectively induces apoptosis in deregulated cyclin D1-expressed cells at G2 phase of cell cycle in a p53-dependent manner. *J Biol Chem* 2005; 280(20): 20059-68.
- [27] Moos PJ, Edes K, Mullally JE, Fitzpatrick FA. Curcumin impairs tumor suppressor p53 function in colon cancer cells. *Carcinogenesis* 2004; 25(9): 1611-7.
- [28] Chaudhary LR, Hruska KA. Inhibition of cell survival signal protein kinase B/Akt by curcumin in human prostate cancer cells. *J Cell Biochem* 2003; 89(1): 1-5.
- [29] Bush JA, Cheung KJ Jr, Li G. Curcumin induces apoptosis in human melanoma cells through a Fas receptor/caspase-8 pathway independent of p53. *Exp Cell Res* 2001; 271(2): 305-14.
- [30] el-Deiry WS, Tokino T, Velculescu VE, Levy DB, Parsons R, Trent JM, Lin D, Mercer WE, Kinzler KW, Vogelstein B. WAF1, a potential mediator of p53 tumor suppression. *Cell* 1993; 75(4): 817-25.
- [31] Liu E, Wu J, Cao W, Zhang J, Liu W, Jiang X, Zhang X. Curcumin induces G2/M cell cycle arrest in a p53-dependent manner and upregulates ING4 expression in human glioma.

- J Neurooncol 2007; 85(3): 263-70.
- [32] Aggarwal BB, Shishodia S, Takada Y, Banerjee S, Newman RA, Bueso-Ramos CE, Price JE. Curcumin suppresses the paclitaxel-

induced nuclear factor-kappaB pathway in breast cancer cells and inhibits lung metastasis of human breast cancer in nude mice. Clin Cancer Res 2005; 11(20): 7490-8.